

4 正規設計

在前一章中我們說明了若某設計之實驗點在圓上有均勻分佈的性質，其在 (r, θ) 區間上亦會有均勻分佈的性質。但是對同一圓上的設計由於極軸選取的不同，所導致的 (r, θ) 設計也會不同。在本章中我們將考慮如何能讓所有的 (r, θ) 設計都有好的表現，進而找出最佳設計 (optimal design)。

4.1 正規設計的定義與性質

在實驗設計上，正規設計指的是實驗點彼此間滿足一個群 (group) 或體 (field) 的結構的設計，一個正規設計可由其定義對比子群 (defining contrast subgroup) 定義出來。關於正規設計，如 2^{s-p} , 3^{s-p} 的各種性質，在一般的教科書 (如 Wu and Hamada(2000), Montgomery (2001), Dean and Voss (1999)) 中，已有詳細的介紹。在本章中，首先考慮在限定實驗次數 n 為質數時，2因子 (r 與 θ) 的正規設計。其中 r 與 θ 皆含 n 個水準，標記為 $0, 1, \dots, n-1$ 。若將 (r, θ) 區間等分成 n^2 個小方陣，使得其中每一個實驗點便落在一個不同的小方陣內，令 A 與 B 分別代表 r 與 θ 的水準值。在此我們定義若某個設計的實驗點滿足 (4.1) 式，稱此設計為正規設計。

$$A + pB = q \pmod{n} \quad (4.1)$$

其中 $A \in \{0, \dots, n-1\}$, $B \in \{0, \dots, n-1\}$, $p \in \{1, \dots, n-1\}$, $q \in \{0, \dots, n-1\}$ 。對每一組給定的 (n, p, q) ，滿足 (4.1) 式的 A 與 B 的組合所形成的集合，便是一個正規設計。往後我們將以 (n, p, q) -設計稱之。

例 4.1 若給定 $(n, p, q) = (5, 3, 0)$, 則 (4.1) 式為

$$A + 3B = 0 \pmod{5}$$

滿足上式的實驗點組合 (A, B) 如下:

$$(A, B) \in \{(0, 0), (1, 3), (2, 1), (3, 4), (4, 2)\}$$

由幾何圖示可知, 所得之設計如圖 4.1(a) 所示, 若改變 q 值為 $1, \dots, 4$ 則 $(5, 3, q)$ -設計分別如圖 4.1(b)-(e) 所示。在圖 4.1(b) 中, 我們可以看出當以 $B = 1.5$ 為新的極軸時, (r, θ) 區間分割為上下兩個區塊, 在不改變區塊內實驗點的相對位置下, 將下方區塊平移至上方區塊頂端, 可得到與圖 4.1(a) 相同的圖形, 圖 4.1(c) 亦可在改變極軸為 $B = 3.5$ 後, 藉由相同的方式得到與圖 4.1(a) 相同的圖形。因此不同的 q 值將對應到同一個圓上的設計針對不同極軸轉換後所形成 (r, θ) 區間上不同的設計, 且設計間可利用區塊上下平移互換互相呼應, 如圖 4.1 所示。 □

在 2.2 節中, 我們指出針對同一個圓上的設計, 隨著不同的極軸選取, 其導致的 (r, θ) 設計, 會有不同的性質, 每改變一次極軸即對應一新的設計, 極軸改變後的設計可在 (r, θ) 區間利用互換上下區塊的方式呈現, 此概念可由 (4.1) 式 q 值的改變來具體表示。

例 4.2 (續例 4.1) 在圖 4.1(a) 中, 我們若要考慮以 $B = 0.5$ 為新的極軸, 所對應新的設計, 即為 $q = 2$, 如圖 4.1(c) 所示, 若將新的極軸改變為 $B = 1.5$, 則對應到圖 4.1(e), 此時 q 值為 4, 若將新的極軸改變為 $B = 2.5$, 則對應到圖 4.1(b), 此時 q 值為 1, 同理若將新的極軸改變為 $B = 3.5$, 其所對應的設計如圖 4.1(d) 所示, 此時 q 值分別為 3。 □

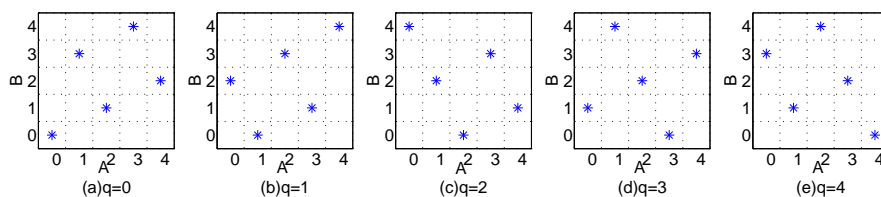


圖 4.1: $A + 3B = q \pmod{5}$

對給定 (n, p) 下, 若將此 q 個不同的設計中的實驗點所在的位置以其 q 值取代, 例如圖 4.1(a) 中的 5 個點用 $q = 0$ 取代, 4.2(b) 中的 5 個點用 $q = 1$ 取代, 其餘以此類推。再將此 q 個設計重疊起來, 即形成一個 $\{0, \dots, n-1\}$ 排列的 $n \times n$ 拉丁方陣, 在此方陣的每一行每一列 $0, 1, \dots, n-1$ 皆出現且僅出現一次。在此我們稱其為 (n, p) -方陣。在 (n, p) -方陣中, 那些具有相同的數字 (即 q 值) 的實驗點, 即對應到 $A + pB = q \pmod{n}$ 的設計。

例 4.3 圖 4.1, 即為固定 $(n, p) = (5, 3)$ 的五種設計, 我們亦可列出它的 (n, p) -方陣。首先用 q 值取代圖中的星點, 再將此五種設計一一重疊起來, 則形成一 (n, p) -方陣, 如表 4.1 所示。若給定 $(n, p) = (5, 1)$ 其 (n, p) -方陣, 如表 4.2 所示。其中表 4.2 中的數字 4, 所對應的設計, 如圖 4.2(a) 所示; 而表 4.1 數字 4, 所對應的設計, 如圖 4.2(b) 所示。□

表 4.1: $(5, 3)$ -方陣

2	3	4	0	1
4	0	1	2	3
1	2	3	4	0
3	4	0	1	2
0	1	2	3	4

表 4.2: $(5,1)$ -方陣

4	0	1	2	3
3	4	0	1	2
2	3	4	0	1
1	2	3	4	0
0	1	2	3	4

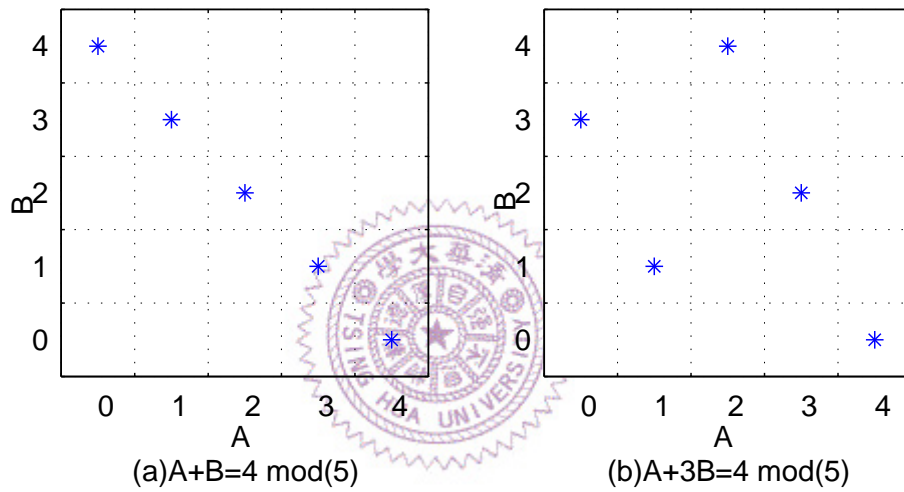


圖 4.2: $(5,1,4)$ -設計與 $(5,3,4)$ -設計

判斷設計好壞有許多準則, 下例我們將以 CL_2 為準則, 比較 $(5,3)$ -方陣中與 $(5,1)$ -方陣中, 那些具有相同數字的實驗點, 其所對應的設計在 CL_2 的表現何者較好。

例 4.4 圖 4.3 中橫軸表示 q 值, 縱軸表示 CL_2 值, 由圖 4.3 可知在給定 $n = 5$ 之下, 不論 q 值為多少, $p = 3$ 的 (n, p) -方陣中所對應的設計, 在 CL_2 的表現上, 皆比 $p = 1$ 的 (n, p) -方陣中所對應的設計, 表現的好。 \square

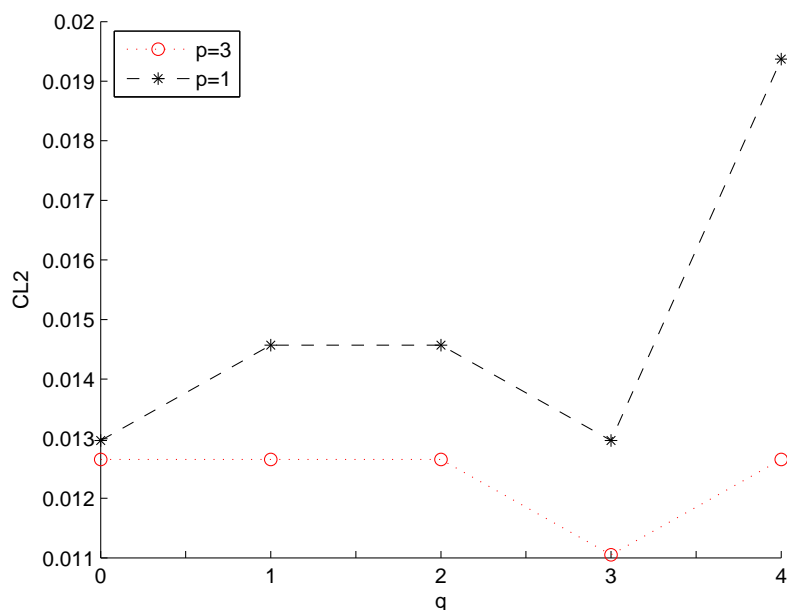


圖 4.3: $(5, 1, q)$ -設計及 $(5, 3, q)$ -設計的 CL_2 值

因為未來做資料分析時，不知最佳的極軸會選取在何處，故我們希望在實驗設計的階段，對於給定的 (n, p) ，不論 q 值為何， (n, p, q) -設計都要好。也因為在給定 n 之後， p 是唯一可變動的部份，故本章接下來將探討的是，在給定 n 之下該如何挑選 p 。我們提出了兩種新的準則來選取 p 值，將在 4.2 及 4.3 節加以敘述。

4.2 準則一

在介紹準則一之前，我們先介紹一些因為同餘所造成的性質。由 (4.1) 式所生成的正規設計，因同餘性質故存在以下的對稱性，一個 (n, p, q) -設計可藉由鏡射 (reflection) 得到另一個與其對稱的設計，且此兩個設計具有相同的性質。

- 1 對 $A = \frac{(n-1)}{2}$ 對稱：首先將對 $A = \frac{(n-1)}{2}$ 鏡射以函數表示為 $T(A, B) = (n-1-A, B)$ ，故可得 (n, p, q) -設計對 $A = \frac{(n-1)}{2}$ 鏡射所對應的設計即為 $(n, n-p, n-q)$

$1 - q$)-設計 (證明參考附錄 A.1)。以圖 4.4 為例, 在圖 4.4 中 (a) 為 $(11, 4, 2)$ -設計, (b) 為 $(11, 7, 8)$ -設計, 若將 $(11, 4, 2)$ -設計之實驗點, 對 $A = 5$ 鏡射, 可得 $(11, 4, 2)$ -設計, 並且此兩種設計在 CL_2 的數值計算上皆為 0.0029943。所以可知 (n, p, q) -設計與 $(n, n - p, n - 1 - q)$ -設計此二設計具有相同的幾何性質, 故以下我們只考慮 $p = 1, \dots, \frac{(n-1)}{2}$ 的情況。

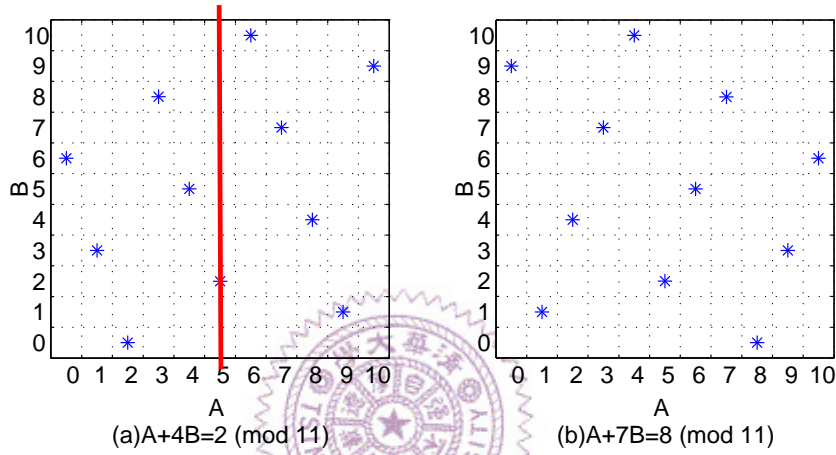


圖 4.4: $(11, 4, 2)$ -設計與 $(11, 7, 8)$ -設計

2 對直線 $A = B$ 對稱: 將對 $A = B$ 鏡射以函數表示為 $T(A, B) = (B, A)$ 。故對 (n, p, q) -設計, 存在另一組 (n, p', q') -設計(其中 p' 與 q' 滿足 $q' = p' \cdot q \pmod{n}$), 其與 (n, p, q) -設計對稱於直線 $A = B$ (推導請參照附錄 A.2), 而 p 與 p' 必須滿足

$$p \cdot p' = 1 \text{ or } (n - 1) \pmod{n} \quad (4.2)$$

以圖 4.5 為例, 若將 $(11, 4, 2)$ -設計對直線 $A = B$ 鏡射, 可得到 $(11, 3, 6)$ -設計, 並且此兩種設計在 CL_2 上皆為 0.0029943, 所以可知 (n, p, q) -設計與 (n, p', q') -設計也具有相同的幾何性質。

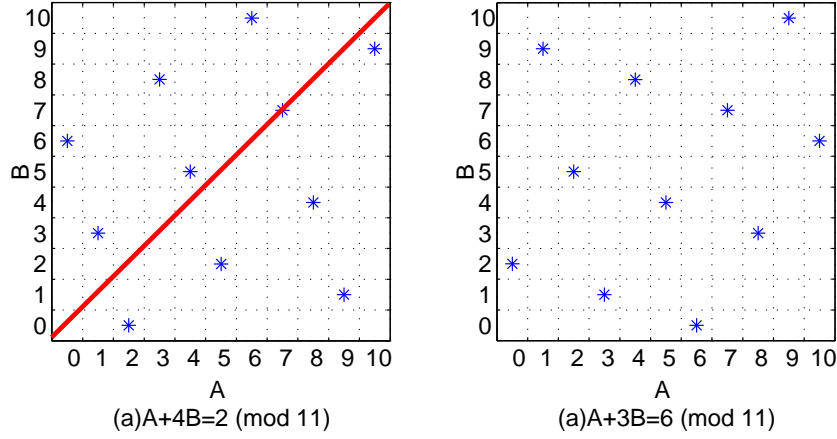


圖 4.5: $(11,4,2)$ -設計與 $(11,3,6)$ -設計

以下我們將藉由 (4.2) 式衍生出準則一。令 $(A_i, B_i), i = 1, \dots, n$, 代表設計中的 n 個點, 令 $\mathbf{A}=(A_1, A_2, \dots, A_n)$, $\mathbf{B}=\{B_1, B_2, \dots, B_n\}$ 。若 $(A_i, B_i), (A_j, B_j)$ 為 (n, p, q) -設計中任意不同的兩點, 令 $\Delta A_{i,j}$ 為此兩點的水平距離, 亦即 $\Delta A_{i,j} = |A_i - A_j|$, 且令 $\Delta B_{i,j}$ 為此兩點的垂直距離, 亦即 $\Delta B_{i,j} = |B_i - B_j|$ 。在此我們定義

$$\Delta A_{i,j}^m = \min(\Delta A_{i,j}, n - \Delta A_{i,j}), \Delta A_{i,j}^m \in \{1, \dots, \frac{(n-1)}{2}\}$$

$$\Delta B_{i,j}^m = \min(\Delta B_{i,j}, n - \Delta B_{i,j}), \Delta B_{i,j}^m \in \{1, \dots, \frac{(n-1)}{2}\}$$

例 4.5 以圖 4.4 (a) 為例, $\mathbf{A}=(0, 1, 2, 3, 4, 5, 6, 7, 8, 9, 10)$, $\mathbf{B}=(6, 3, 0, 8, 5, 2, 10, 7, 4, 1, 9)$, 若取 $(A_1, B_1) = (0, 6), (A_9, B_9) = (8, 4)$, 則

$$\Delta A_{1,9} = |8 - 0| = 8, \Delta A_{1,9}^m = \min(\Delta A_{1,9}, n - \Delta A_{1,9}) = 3,$$

$$\Delta B_{1,9} = |4 - 6| = 2, \Delta B_{1,9}^m = \min(\Delta B_{1,9}, n - \Delta B_{1,9}) = 2。$$

□

定理 4.1. 對 (n, p, q) -設計中任意不同的兩點 $(A_i, B_i), (A_j, B_j)$, 當 $\Delta B_{i,j}=1$ 時

$$\Delta A_{i,j}^m = p.$$

證明 4.1. 若將 n 個點表示如下 $(A_1, 0), (A_2, 1), (A_3, 2) \dots (A_n, n-1)$, 因為這些點滿足 (4.1) 式, 故將此 n 個點分別代入 (4.1) 式, 可得

$$A_i = n \cdot k_i - p \cdot (i-1), \quad i = 1, \dots, n, \quad k_i \in \mathbb{Z}.$$

故對 $i \in \{1, 2, \dots, n-1\}$

$$\Delta A_{i,i+1} = |n \cdot (k_{i+1} - k_i) - p|,$$

其中 $p \in \{1, \dots, \frac{(n-1)}{2}\}$ 。因為 $\Delta A_{i,i+1}^m = \min(\Delta A_{i,i+1}, n - \Delta A_{i,i+1})$, 又因 $\Delta A_{i,i+1}^m \in \{1, \dots, \frac{(n-1)}{2}\}$ 故

1 當 $\Delta A_{i,i+1}^m = \Delta A_{i,i+1}$ 時, 可推得 $k_{i+1} - k_i = 0$, 所以 $\Delta A_{i,i+1}^m = p$ 。

2 若 $\Delta A_{i,i+1}^m = n - \Delta A_{i,i+1}$ 時, 可推得 $k_{i+1} - k_i = 1$, 所以 $\Delta A_{i,i+1}^m = n - (n - p) = p$ 。

故在 $\Delta B_{i,j} = 1$ 時, $\Delta A_{i,j}^m = p$ ■

若 (n, p', q') -設計為 (n, p, q) -設計對稱於 $A = B$ 的設計。若在 (n, p', q') -設計中的某兩點滿足 $\Delta B_{i,j} = 1$ 且 $\Delta A_{i,j}^m = p'$, 則利用其對稱於 $A = B$ 的性質, 在 (n, p, q) -設計中可找到兩點其滿足 $\Delta A_{i,j} = 1$ 且 $\Delta B_{i,j}^m = p'$ 的性質。

由定理 4.1 可知當 $\Delta B_{i,j} = 1$ 時 $\Delta A_{i,j}^m = p$ 。因為當 p 太小時, 其所對應的會是不好的設計, 例如當 $p = 1$ 我們可知實驗點會幾乎落在一直線上, 如圖 3.6(a) 所示, 故我們希望 p 不應太小。由 (4.2) 式可得知, 當 p 愈大時 p' (當 $\Delta A_{i,j} = 1$ 時, $\Delta B_{i,j}^m = p'$) 將愈小, 此時所對應的設計也不會是個好設計, 如在圖 4.6(b) 中實驗點幾乎落在二條直線上。同理當 p' 愈大時 p 將愈小時, 此時所得到的設計自然也不是個好的設計, 如

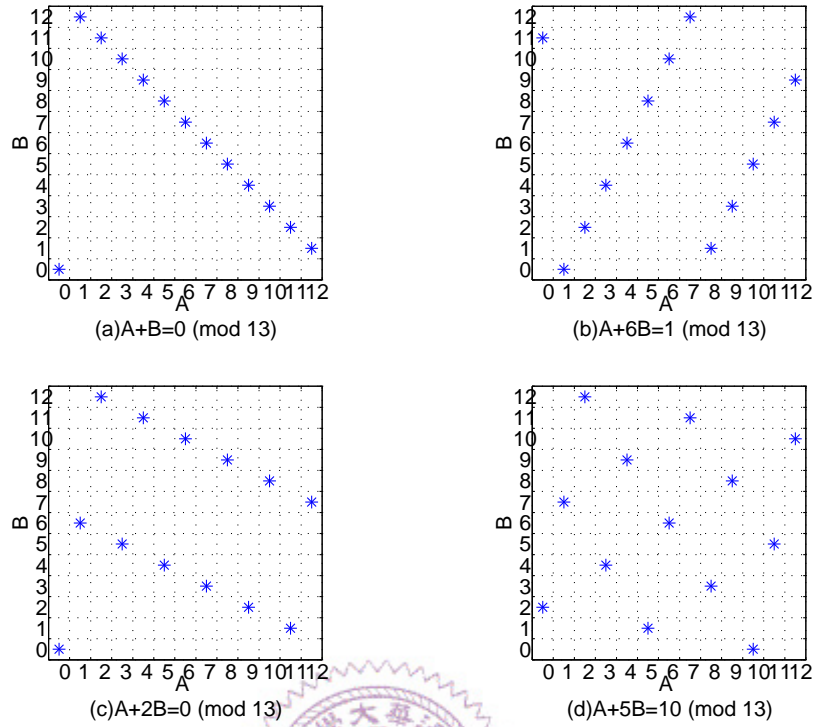


圖 4.6: n 為 13 時, 4 種不同的 (n, p, q) -設計

圖 4.6(c) 所示。故我們必須選取適當的 p 與 p' 才會得到不錯的設計, 如像在圖 4.6(d) 中實驗點分佈的相當均勻。因此我們將取一個平衡點, 使得 p 及 p' 適中。故取

$$\max_p(p \cdot p')$$

為挑選設計的準則, 以下稱其為準則一。下例我們將藉由準則一, 比較 $n=17$ 的 4 個不同的 (n, p, q) -設計, 最後以 CL_2 來驗證。

例 4.6 以 $n=17$ 為例, 當 $p=7$ 時, $p'=5$, $p \cdot p'=35$ 。 $p=4$ 時, $p'=4$, $p \cdot p'=16$ 。 $p=3$ 時, $p'=6$, $p \cdot p'=18$ 。 $p=2$ 時, $p'=8$, $p \cdot p'=16$ 。所以依據準則一, 我們所挑選的設計為 $p=7$ 。並由圖 4.7 可知在給定 $n=17$ 之下, $p=7$ 在不同 q 所對應的設計, 在 CL_2 的表現上, 大多比其他 p 值在不同 q 所對應的設計表現的好。 \square

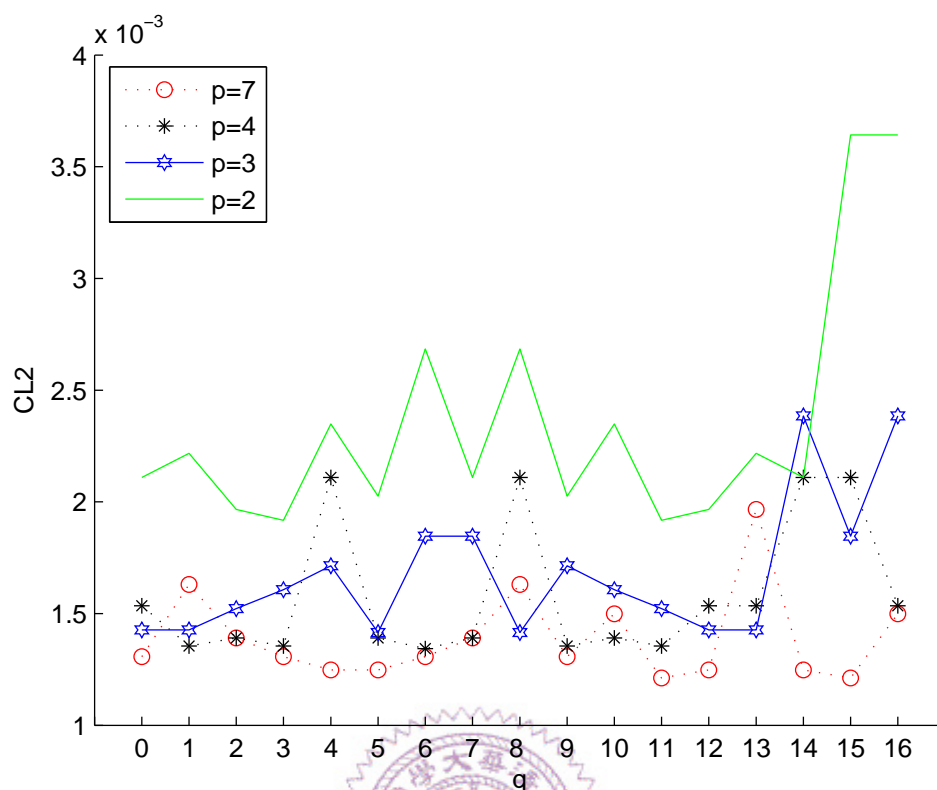


圖 4.7: $(17, p, q)$ -設計, $p = 2, 3, 4, 7$ 的 CL_2 值

我們將 n 為小於 100 的質數時, 依據準則一所獲得的最佳設計列於表 4.3。

表 4.3: 準則一下的最佳設計列表

n	5	7	11	13	17	19	23	29	31	37	41	43
p	2	3	4	5	7	8	12	12	13	11	18	18
p'	2	2	3	5	5	7	10	12	12	10	16	12
n	47	53	59	61	67	71	73	79	83	89	97	
p	18	23	26	22	26	30	27	30	36	34	36	
p'	13	23	26	22	18	26	27	29	30	34	35	

4.3 準則二

我們將先以一個 $(13,5,10)$ -設計來說明。由圖 4.8 可得知，一個正規設計中所有的實驗

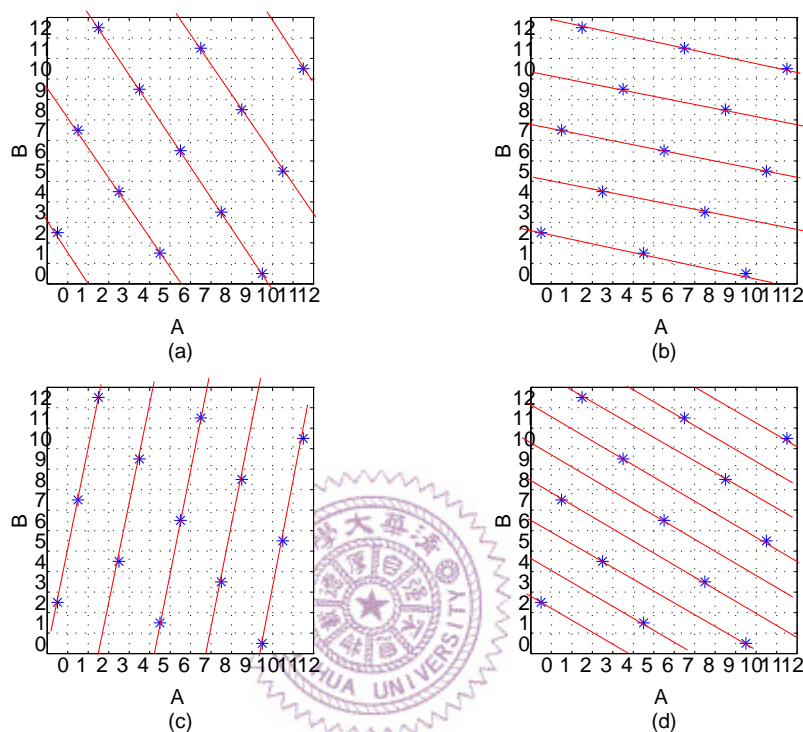


圖 4.8: $(13,5,10)$ -設計之標準線

點皆位於某幾條平行線上。並且隨著斜率不同，可以有不同組的平行線，我們將以可包含較多實驗點的平行線，稱為標準線。例如在圖 4.8 中，(a) 圖的平行線上最多可以通過 5 個實驗點，(b) 圖最多通過 3 個實驗點，(c) 圖最多 3 個，(d) 圖最多 2 個，因此我們將以圖 4.8(a) 的這組平行線稱之為標準線。對一個 (n, p, q) -設計，其標準線求法如下：首先找出與中心點 $(\frac{n-1}{2}, \frac{n-1}{2})$ 距離最近的實驗點 o ，再找出與 o 點距離最近的實驗點 w ，令 L_0 為通過 o 和 w 的直線，將 L_0 往上或往下平行移動至其他實驗點上，即形成其他直線 L_i ，在此定義 L_i (包含 L_0) 為標準線，這些標準線將通過所有實驗點，同

時標準線上任二個最近點之距離皆為 o 與 w 間的距離, 用 $|\overline{ow}|$ 表示。

我們認為當標準線的線數愈多時, 將使得實驗區間被分割成愈多的區間, 表示點跟點間愈分散, 因此在本節中, 我們將提出一個以標準線的多寡來決定設計好壞的準則。以下我們將推導出當 o 與 w 兩點間的水平距離加垂直距離越大, 則標準線越多條, 並且可由其得知實驗區間內有幾條標準線通過。首先我們令 a 為 o, w 兩點間的垂直距離, b 為 o, w 兩點間的水平距離。 a 與 b 之推導可由以下陳述得知: 在 (n, p, q) -設計中, 若 (n, p) 給定後, 不論 q 值為何, 對 (n, p, q) -設計上的 n 個點 $(A_1, B_1), (A_2, B_2), (A_3, B_3) \dots (A_n, B_{n-1})$ 皆滿足以下性質: 若第 i, j 個實驗點使得 $\Delta B_{i,j} = 1$, 則 $\Delta A_{i,j}^m = p$ 。若第 i, j 個實驗點使得 $\Delta B_{i,j} = 2$, 則 $\Delta A_{i,j}^m$ 為 $2p$, 但 $2p$ 可能大於 n , 故我們對其取餘數 $2p \pmod{n}$ 。因取過餘數後, 其值仍可能大於 $\frac{n-1}{2}$, 故我們可以將 $\Delta A_{i,j}^m$ 透過函數 g 以 $g(2p)$ 表示, 代表 $\min(\Delta A_{i,j}, n - \Delta A_{i,j})$, 其中 g 函數表示如下:

$$g(x) = \begin{cases} x \pmod{n}, & \text{if } x \pmod{n} < \frac{n-1}{2} \\ n - (x \pmod{n}), & \text{if } x \pmod{n} > \frac{n-1}{2} \end{cases}$$

所以當第 i, j 個實驗點使得 $\Delta B_{i,j} = k$, $\Delta A_{i,j}^m$ 可以 $g(kp)$ 表示, $k = 1, 2, \dots, \frac{n-1}{2}$ 。

若我們以歐氏距離計算兩點間距離的算法, 則標準線定義中的 $|\overline{ow}|$ 可表示如下

$$|\overline{ow}| = \min_{i,j} \{(\Delta B_{i,j})^2 + (\Delta A_{i,j}^m)^2\}。$$

且若 i^*, j^* 為使得上式滿足之 i 與 j 值, 則 $a = \Delta B_{i^*, j^*}$, $b = \Delta A_{i^*, j^*}^m$ 。接下來我們將推導, 當 $a+b$ 愈大時, 代表標準線愈多條, 並且標準線的個數, 可以由 a, b 決定。首先考慮標準線斜率為負時的情況。我們將標準線之方程式表示如下:

$$aA + bB = n \cdot k + q,$$

其中 $k \in Z; q = 0, \dots, n-1$ 。移項可得

$$aA = n \cdot k + q - bB。$$

因爲 $A \in \{0, \dots, n-1\}$, 故

$$0 \leq n \cdot k + q - bB \leq a(n-1)。$$

因 $B \in \{0, \dots, n-1\}$, 可得知

$$0 \leq n \cdot k + q \leq (a+b)(n-1)。 \quad (4.3)$$

每一個滿足 (4.3) 式的 k 值, 即對應到一條標準線, 故滿足 (4.3) 式的 k 值個數便是通過建模區間的標準線個數。並且 $(a+b)$ 越大, 則標準線將越多。因爲

$$0 \leq k \leq \frac{(a+b)(n-1) - q}{n} \quad (4.4)$$

由 (4.4) 式可知共有 $(\lfloor \frac{(a+b)(n-1)-q}{n} \rfloor + 1)$ 個 k , 所以將會有 $(a+b)$ 或 $(a+b-1)$ 條標準線。由此推導我們可得 2 個結論

1 $a+b$ 越大代表標準線越多

2 會有 $a+b$ 或者 $a+b-1$ 條標準線, 隨著餘數不同而有變化

同理可推得當標準線斜率爲正時, 結論與標準線斜率爲負時相同 (推導可參照附錄 A.3)。

因爲我們希望通過建模空間的標準線愈多愈好, 故取

$$\max_p(a+b)$$

爲挑選設計的準則, 以下我們稱其爲準則二。下例我們將計算出 $n=13$ 的 4 個不同的 (n, p, q) -設計之標準線, 並且將以標準線的個數來挑選最適設計, 最後以 CL_2 來驗證。

例 4.7 如圖 4.9 所示, 在圖 4.9(a) 中, 以 $(6,6)$ 爲 o 點, 可找出 w 點 $(7,5)$ 並可得 $a = (6-5) = 1, b = (7-6) = 1$, 且有 $(a+b-1) = 1$ 條標準線。在圖 4.9(b) 中,

以 $(5,4)$ 爲 o 點, 可找出 w 點 $(7,3)$ 並可得 $a = (4 - 3) = 1, b = (7 - 5) = 2$, 且有 $(a + b) = 3$ 條標準線。在圖 4.9(c) 中, 以 $(5,7)$ 爲 o 點, 可找出 w 點 $(8,6)$ 並可得 $a = (7 - 6) = 1, b = (8 - 5) = 3$, 且有 $(a + b) = 4$ 條標準線。在圖 4.9(d) 中, 以 $(6,6)$ 爲 o 點, 可找出 w 點 $(8,3)$ 並可得 $a = (6 - 3) = 3, b = (8 - 6) = 2$, 且有 $(a + b) = 5$ 條標準線。同時在 CL_2 的計算上 $(d)CL_2 = 0.0019084 < (c)CL_2 = 0.0022586 < (b)CL_2 = 0.0025737 < (a)CL_2 = 0.012342$ 。此外由圖 4.10 可知給定 $n = 13$ 之下, $p=5$ 在不同 q 所對應的設計, 在 CL_2 的表現上, 大多比其他 p 值在不同 q 所對應的設計, 表現的好。 \square

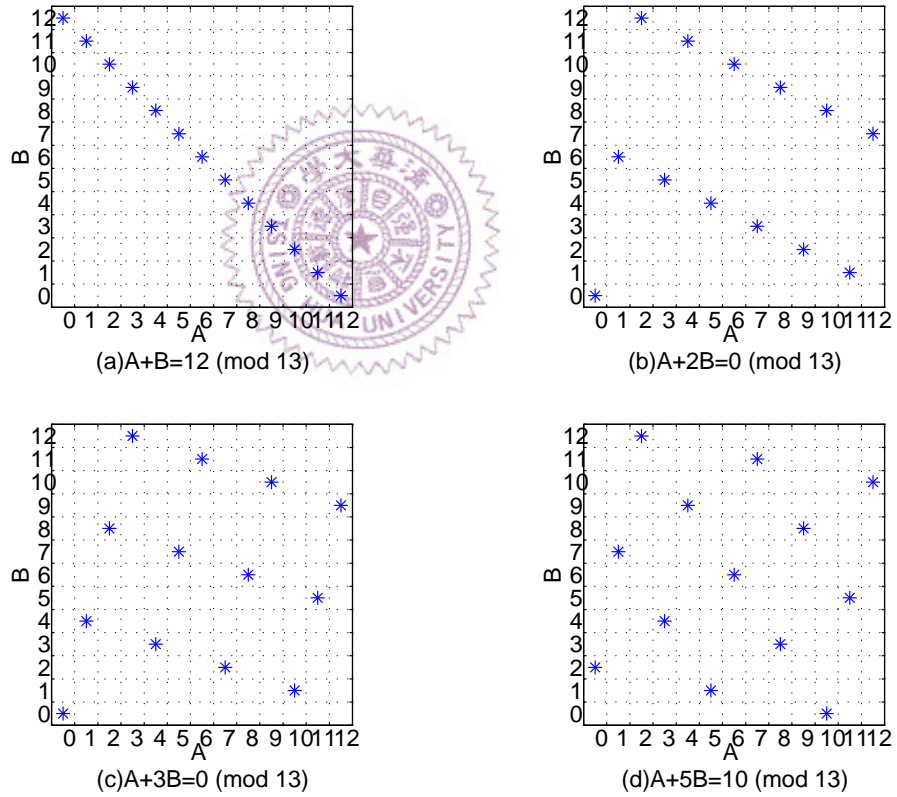


圖 4.9: 四種不同的 (n, p, q) -設計, $n=13$

我們將 n 爲小於 100 的質數時, 依據準則二所獲得的最佳設計列於表 4.4。

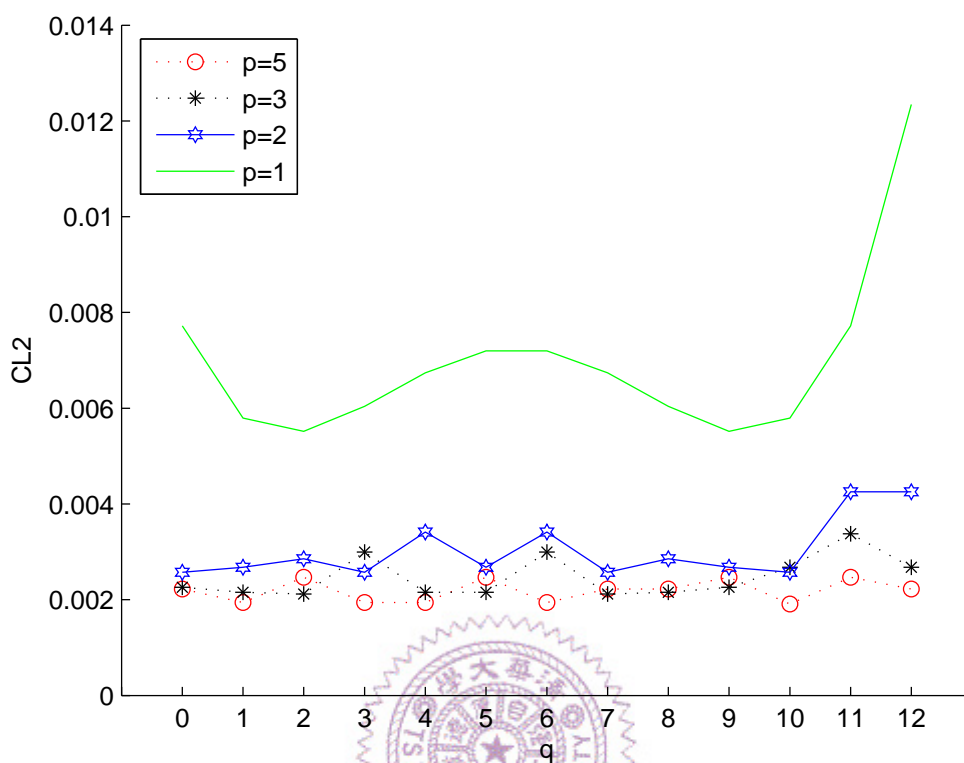


圖 4.10: $(13, p, q)$ -設計, $p = 1, 2, 3, 5$, 的 CL_2 值

表 4.4: 準則二下的最佳設計列表

n	5	7	11	13	17	19	23	29	31	37	41	43
p	2	3	4	5	7	8	9	11	13	16	9	18
p'	2	2	3	5	5	7	5	8	12	7	9	12
n	47	53	59	61	67	71	73	79	83	89	97	
p	18	20	13	18	28	27	32	23	15	34	37	
p'	13	8	9	17	12	21	16	12	11	34	21	

4.4 M 方陣

前兩節所述之 $\Delta B_{i,j}$ 與 $\Delta A_{i,j}$, 可以用來表示任意兩點的垂直距離與水平距離。對一個 (n, p, q) -設計, 若 $\Delta B_{i,j} = k^*, k^* = 1, \dots, \frac{(n-1)}{2}$, 則 $\Delta A_{i,j}^m$ 可由前一節所述之 g 函數求得。在給定 n 之下, 將 p 由小至大, 組成不同的 (n, p) -方陣, 再依序將 $\Delta B_{i,j}$ 由 1 變動至 $\frac{(n-1)}{2}$ 時, 所對應的 $\Delta A_{i,j}^m$ 記錄下來, 即可建構出一個 $\frac{(n-1)}{2} \times \frac{(n-1)}{2}$ 的方陣 M 。令 $m_{h,k}$ 代表 M 中第 h 列第 k 行的值, $h = 1, \dots, \frac{(n-1)}{2}, k = 1, \dots, \frac{(n-1)}{2}$, 則 $m_{h,k}$ 代表 $p = k, \Delta B_{i,j} = h$ 時, $\Delta A_{i,j}^m$ 的值。而 $m_{h,k}$ 亦可用 $m_{\Delta B_{i,j}, p}$ 表示。

例 4.8 以 $n = 17$ 為例, M 方陣如下表 4.5 所示: 其中 $m_{5,4}$ 即代表當 p 為 4, $\Delta B_{i,j}$ 為 5 時, 所對應的 $\Delta A_{i,j}^m$, 由表 4.5 可知 $m_{5,4}=3$, 其餘以此類推。 \square

表 4.5: $n=17$ 之 M 方陣

1	2	3	4	5	6	7	8
2	4	6	8	7	5	3	1
3	6	8	5	2	1	4	7
4	8	5	1	3	7	6	2
5	7	2	3	8	4	1	6
6	5	1	7	4	2	8	3
7	3	4	6	1	8	2	5
8	1	7	2	6	3	5	4

另外, 我們亦可藉由此方陣得到準則一與準則二的資訊。以下我們將敘述如何藉由 M 方陣得到準則一與準則二的資訊:

準則一: 若 (n, p, q) -設計與 (n, p', q') -設計對稱於 $A = B$, 其中 $p \cdot p' = 1 \text{ or } (n - 1) \pmod{n}$ 。我們以 $\max_p(p \cdot p')$ 的一組 (p, p') 為最佳設計, 其中 $p \cdot p'$ 除以 n 餘數

爲 1 或 $n - 1$ 此性質與 $p \cdot \Delta B_{i,j} = \Delta A_{i,j}^m \pmod{n}$ 相同。當 $\Delta B_{i,j}$ 爲 k^* , $\Delta A_{i,j}^m$ 爲 $g(k^* \cdot p)$, 透過 g 函數, $\Delta A_{i,j}^m$ 可用 $k^*p \pmod{n}$ 或 $n - (k^*p \pmod{n})$ 表示。故給定 (n, p) 下, $\Delta A_{i,j}^m=1$ 時所對應的 $\Delta B_{i,j}$ 即爲 p' 。因此若已知實驗次數 n , 我們可以根據 M 方陣找出 p 從 1 變動至 $\frac{(n-1)}{2}$ 時所對應的 p' , 便能找出 $\max_p(p \cdot p')$ 以尋得最佳設計。藉由 M 方陣中我們可將準則一表示如下:

當 $m_{h,k} = 1$ 時, 若 h, k 爲滿足 $\max(h \cdot k)$ 時的值, 則

$$p = k, p' = h \text{ 或 } p = h, p' = k。$$

準則二: 在給定 (n, p) 下, 我們可以算出最短距離 $|\overline{ow}| (= \sqrt{a^2 + b^2})$, 我們比較不同 p 之下的 $a + b$ 值, 以 $\max_p(a + b)$ 代表標準線越多爲由, 找出最佳設計。 M 矩陣的生成方式即由不同 p 值且不同 $\Delta B_{i,j}$ 之下的 $\Delta A_{i,j}^m$ 所組成, 我們可依循 M 方陣的規律找到每個 p 及 $\Delta B_{i,j}$ 所對應的 $\Delta A_{i,j}^m$ 。首先給定 p 值, 我們可以由第 p 行由上而下找尋最短距離, 即 $\min\{\sqrt{\Delta B_{i,j}^2 + (\Delta A_{i,j}^m)^2}\} = \min\{\sqrt{h^2 + m_{h,p}^2}\}$, 找出不同 p 所相對應的最短距離後, 再比較其水平距離與垂直距離之和, 找 $\max_p(a + b) = \max_p(h + m_{h,p})$ 。在 M 方陣中我們可將準則二表示如下

$$\max_p\{h + m_{h,p} \mid \min(h^2 + m_{h,p}^2)\}$$

以下我們將說明如何藉由 M 方陣找出 $n = 17$ 在準則一及準則二下的最佳設計。

例 4.9 我們可藉由 M 方陣, 找出依準則一找出最適之設計, 首先當 $p=1$ 時, 在第一行找出 $m_{h,1}=1$ 的值, 則 $p' = h = 1$, 得 $p \cdot p' = 1$, 當 $p=2$ 時, 依相同規律在第二行中找出 $m_{h,8}=1$ 時之 h 值, 則 $p' = h = 8$, 得 $p \cdot p' = 16$, 依照此規律可找出所有 $(p, p') \in \{(1, 1), (2, 8), (3, 6), (4, 4), (5, 7), (6, 3), (7, 5), (8, 2)\}$, 則 $\max_p(p \cdot p')$ 爲 35, 即 $(p, p') = (5, 7)$ 或 $(p, p') = (7, 5)$ 時, 故根據準則一 $\max_p(p \cdot p')$, 我們挑選的最適設計爲 $(17, 7, q)$ -設計, $q = 0, \dots, n - 1$. □

例 4.10 我們亦可藉由 M 方陣, 找出以準則二為標準之最適設計, 當 $p=1$ 時, 我們由 M 方陣中, 第 1 行得到符合 $\min(m_{h,p}^2 + h^2)$ 的 $\Delta B_{i,j}$ 為 1, $\Delta A_{i,j}^m (= m_{h,p})$ 為 1, 則水平距離與垂直距離之和為 2; 當 $p=2$ 時, 符合最短距離為 $(\Delta B_{i,j}, \Delta A_{i,j}^m) = (1, 2)$, 則 $a + b$ 為 3。其餘 p 值所對應的最短距離我們亦可透過 M 方陣找出, 由 $(p, \Delta B_{i,j}, \Delta A_{i,j}^m) (= (p, h, m_{h,p})) \in \{(1, 1, 1), (2, 1, 2), (3, 1, 3), (4, 1, 4), (5, 3, 2), (6, 3, 1), (7, 2, 3), (8, 2, 1)\}$ 在此集合中尋找出 $\max(h + m_{h,p})$ 為 5, 即 $p=4, 5, 7$ 時, 因此, 在準則二 $\max_p(h + m_{h,p})$ 之下我們找出 $(17, 7, q)$ -設計, 為 $n=17$ 時最佳之設計。□

在正規設計中, 實驗點之間所有的資訊皆被包含在 M 方陣中, 因此從 M 方陣中可以判斷設計的好壞, 往後如果需要發展挑選最適正規設計的準則, 可以從 M 方陣中著手。

